

# تحلیل روغنکاری الاستوھیدرودینامیک اجسام کروی به روشن اجزاء محدود

جعفر زرین چنگ

دانشیار بخش مهندسی مکانیک دانشگاه شیراز

روزه ساطوریانس

فارغالتحصیل کارشناسی ارشد بخش مهندسی مکانیک دانشگاه شیراز

چکیده

اصطلاح روغنکاری الاستوھیدرودینامیک برای تماسهای خطی و نقطه‌ای و برای نشان دادن اثر موضعی فشارهای بالای  $10^9$  پاسکال با زمان اثر  $1-100 \mu\text{sec}$  به کار خواهد رفت. فشارهای زیاد سبب تغییر شکل الاستیک قبل ملاحظه در سطح تماس، افزایش چسبندگی سیال روغنکاری وحدائقی ضخامت لایه روغن خواهد گردید. کارآئی مؤثر دستگاههای مکانیکی در بارگذاریهای سنگین، بستگی کامل به مکانیزم روغنکاری الاستوھیدرودینامیک در تماس بین قطعات داشته و فشارهای زیاد سبب فرسودگی و زوال قطعه خواهد شد. توزیع فشار و ضخامت فیلم روغن در ناحیه تماس اجسام کروی تحت شرایط روغنکاری الاستوھیدرودینامیک هم دما و مستقل از زمان «یکنواخت» به روشن اجزاء محدود مورد مطالعه قرار گرفته‌اند. نتایج به دست آمده نشان می‌دهد که ضخامت لایه روغن در ناحیه تماس هر ترزا یک محدودیت موضعی در محل خروجی یکنواخت بوده، منحنی فشار در اکثر ناحیه تماس نزدیک به منحنی فشار هرتز و افزایش چسبندگی روغن سبب افزایش ضخامت لایه روغن می‌گردد.

## Analysis of Elastohydrodynamic Lubrication of Spherical Bodies Using Finite Element Method

J. Zarinchang, (Ph. D.)

Associate prof.

R. Satoorians, (M. Sc.)

Graduate student

Mech. Eng. Dept. Shiraz-University

## Abstract

Elastohydrodynamic lubrication of spherical bodies under pressure more  $10^9$  Pascals during 1-100  $\mu$ sec. is one the important engineering problems. At heavy loads the shape of contact surface would deform and the lubricant can not be assumed to be inviscous.

The problem consider here is that of an elastic sphere rolling upon another one. Under condition of elastohydrodynamic lubrication the two surfaces are separated by a thin film fluid.

The complete solution of the elastohydrodynamic lubrication problem requires a simultaneous solution to the equation governing the elastic deformation of the surfaces, and the Reynolds equation, which is made nonlinear by the dependence of both density and viscosity upon pressure.

Once the pressure distribution is found, the elastic deformation and film thickness due to this pressure is calculated. Having the film thickness, the Reynolds equation is then solved by finite element method to find the new pressure distribution. With the new pressure distribution a new elastic deformation and film thickness arises and as a result a new pressure distribution. This processes must be repeated till converging is achieved.

The results are obtained from this method is more accurate than finite difference analysis and very close to the experimental results obtained by Kweh[1].

## مقدمه

اجزاء محدود ابتدا بايستی معادلات رینولوز و تغییر شکل الاستیک و سایر روابط مورد لزوم را با انتخاب فرضهای مناسب به فرم موردنیاز تغییر داد و سپس به حل همزمان آنها اقدام نمود.

چنانچه طبق شکل (۱) یک ستون از سیال به ارتفاع  $h$  و قاعده  $dx dy$  را در نظر بگیریم و جریانهای ورودی را به ازاء واحد پهنا به  $q_x$  و  $q_y$  و سطح پایینی ستون با سرعت  $\omega_0$  به سمت بالا و سطح بالایی با سرعت  $\omega_h$  به سمت بالا حرکت کند می‌توان معادله پیوستگی جریان حجمی را به صورت زیر نوشت:

$$\frac{\partial q_x}{\partial x} + \frac{\partial q_y}{\partial y} + (\omega_h - \omega_0) = 0 \quad (1)$$

چنانچه دانسیته را متغیر و تابعی از  $x$  و  $y$  فرض کنیم در این صورت می‌توان به جای جریان حجمی، جریان جرمی را جایگزین نمود و معادله پیوستگی به شکل زیر در خواهد آمد.

$$\frac{\partial}{\partial x} (\rho q_x) + \frac{\partial}{\partial y} (\rho q_y) + \rho(\omega_h - \omega_0) = 0 \quad (2)$$

از طرفی چون حال مسأله به صورت یکنواخت می‌باشد مقادیر  $\rho(\omega_h - \omega_0)$  برابر صفر بوده و معادله نهایی پیوستگی مورد نیاز به صورت زیر در می‌آید.

$$\frac{\partial}{\partial x} (\rho q_x) + \frac{\partial}{\partial y} (\rho q_y) = 0 \quad (3)$$

تماس اجزاء مکانیکی می‌تواند به صورت سطحی، خطی و یا نقطه‌ای باشد. در تماسهای سطحی با توجه به سطح زیاد تماس نسبت به نیروی وارده، دارای فشار متوسطی در ناحیه تماس بوده و از نظر طراحی مسأله خاصی وجود ندارد. در تماسهای خطی و نقطه‌ای، با توجه به کاهش زیاد سطح تماس، مقدار فشار موضعی به شدت بالا می‌رود که می‌تواند سبب تغییر شکل الاستیک قابل ملاحظه‌ای در سطوح تماس شده، چسبندگی و دانسیته سیال روغنکاری را به شدت تغییر دهد و اثر زیادی بر روی حداقل ضخامت لایه روغن بگذارد که تمامی این مسائل از نظر طراحی مهم و قابل توجه می‌باشند.

علم روغنکاری الاستوہیدرودینامیک در سالیان اخیر دارای پیشرفت‌های زیادی از نظر تئوری و آزمایشگاهی بوده است. نتایجی که اکنون برای توزیع فشار و ضخامت لایه روغن در سطح تماس به دست می‌آید، بسیار نزدیک به واقعیت هستند و تطابق نتایج تئوری و گزارشات آزمایشگاهی بیانگر این حقیقت می‌باشند. به عنوان مثال در مقاله‌ای که اخیراً به وسیله کوهه، او انزو واستایدل {۱} منتشر شده و حاوی نتایج تئوری- عددی و همچنین نتایج آزمایشگاهی می‌باشند، این تطابق به خوبی مشهود است.

**تئوری و روابط مورد استفاده**  
برای بررسی روغنکاری الاستوہیدرودینامیک به روش

با قرار دادن رابطه (۸) در معادله (۹) به شکل نهایی معادله رینولوز که در مسأله مورد استفاده قرار خواهد گرفت می‌رسیم.

$$\frac{\partial}{\partial x} \left( \frac{\rho h^3}{\mu} \frac{\partial P}{\partial x} \right) + \frac{\partial}{\partial y} \left( \frac{\rho h^3}{\mu} \frac{\partial P}{\partial y} \right) = 12U \frac{\partial}{\partial x} (\rho h) \quad (10)$$

می‌دانیم که مقدار تغییر شکل یک جسم در یک نقطه دلخواه ( $x'$ ,  $y'$ ) بر اثر فشار وارد بر آن برابر است با:

$$d(x', y') = \frac{1 - v^2}{\pi E} \int_A \int \frac{P(x, y) dx dy}{[(x-x')^2 + (y-y')^2]^{1/2}} \quad (11)$$

که در آن ( $x'$ ,  $y'$ ) مقدار تغییر شکل جسم در نقطه ( $x'$ ,  $y'$ )،  $E$  فشار وارد بر سطح  $A$  از جسم،  $P$  مدول الاستیستیه جسم و ضریب پواسن جسم می‌باشد. چنانچه تماس بین دو جسم باشد، مقدار کل تغییر شکل الاستیک از رابطه زیر به دست می‌آید.

$$d(x', y') = d_1(x', y') + d_2(x', y') \quad (12)$$

که در آن  $d_2(x', y')$ ,  $d_1(x', y')$ ,  $d(x', y')$  به ترتیب تغییر شکل کل، تغییر شکل جسم اول و تغییر شکل جسم دوم در نقطه ( $x'$ ,  $y'$ ) می‌باشد. چنانچه مقادیر ( $d_1(x', y')$  و  $d_2(x', y')$ ) را از رابطه (۱۲) در رابطه (۱۱) قرار داده و ساده کنیم خواهیم داشت:

$$d(x', y') = \left( \frac{1 - v_1^2}{\pi E_1} + \frac{1 - v_2^2}{\pi E_2} \right) \int_A \int \frac{P(x, y)}{[(x-x')^2 + (y-y')^2]^{1/2}} \quad (13)$$

با تعریف مدول الاستیستیه مؤثر ( $E'$ ) به صورت زیر

$$\frac{2}{E'} = \frac{1 - v_1^2}{E_1} + \frac{1 - v_2^2}{E_2} \quad (14)$$

می‌توان معادله تغییر شکل الاستیک کل به فرمی را که مورد نیاز می‌باشد به صورت زیر نوشت:

$$d(x', y') = \frac{2}{\pi E'} \int_A \int \frac{P(x, y) dx dy}{[(x-x')^2 + (y-y')^2]^{1/2}} \quad (15)$$

معادله ضخامت لایه روغن در ناحیه تماس برابر است با:

$$h(x', y') = h_0 + \frac{x'^2 + y'^2}{2R} + d(x', y') - d(0, 0) \quad (16)$$

چنانچه طبق شکل (۲) یک جزء کوچک سیال به بعد،  $z = \mu \frac{\partial u}{\partial z}$  را در نظر گرفته و از رابطه چسبندگی نیوتون نسبت به  $z$  مشتق بگیریم با فرض اینکه چسبندگی ( $\mu$ ) در امتداد  $z$  ثابت باشد می‌توان مقدار سرعت جریان  $u$  را در جهت  $x$  در هر نقطه  $z$  از لایه روغن را به صورت زیر بدست آورد.

$$U = \frac{\partial P}{2\mu \partial x} (z^2 - zh) + (U_1 - U_2) \frac{z}{h} + U_2 \quad (4)$$

در رابطه (۴)  $\frac{\partial P}{\partial x}$  گرادیان فشار،  $\mu$  چسبندگی و  $U_1$  و  $U_2$  سرعت سطوح بر روی  $z=0$  و  $z=h$  می‌باشند. از معادله (۴) می‌توان گرادیان سرعت را بدست آورد.

$$\frac{\partial u}{\partial z} = \frac{\partial P}{\mu \partial x} (z - \frac{h}{2}) + (\frac{U_1 - U_2}{h}) \quad (5)$$

برای به دست آوردن مقدار جریان در جهت  $x$  با همان بایستی مقدار  $udz$  را در فاصله  $z=0$  تا  $z=h$  را محاسبه و پس از ساده کردن خواهیم داشت:

$$q_x = - \frac{h^3}{12\mu} \frac{\partial P}{\partial y} (U_1 + U_2) \frac{h}{2} \quad (6)$$

چنانچه عملیات فوق را برای جهت  $y$  انجام دهیم خواهیم داشت:

$$q_y = - \frac{h^3}{12\mu} \frac{\partial P}{\partial y} (V_1 + V_2) \frac{h}{2} \quad (7)$$

که در رابطه (۷)  $V_1$  و  $V_2$  سرعت سطوح بر روی  $z=0$  و  $z=h$  در جهت  $y$  می‌باشد. با قرار دادن مقادیر  $q_x$  و  $q_y$  در معادله پیوستگی (۳) و فرض اینکه  $\frac{U_1 + U_2}{2} = V_2 = 0$  و  $V_1 = U_1$  می‌توان نوشت:

$$\frac{\partial}{\partial x} \left( \frac{\rho h^3}{\mu} \frac{\partial P}{\partial x} \right) + \frac{\partial}{\partial y} \left( \frac{\rho h^3}{\mu} \frac{\partial P}{\partial y} \right) = 12 \frac{\partial}{\partial x} (\rho Uh) \quad (8)$$

از طرفی با فرض اینکه انحنای سطح نسبت ضخامت لایه روغن بسیار بزرگ و نیازی به در نظر گرفتن تغییرات در جهت سرعتهای سطحی نباشد می‌توان نوشت:

$$\frac{\partial}{\partial x} (\rho Uh) = U \frac{\partial}{\partial x} (\rho h) \quad (9)$$

عبارتست از شعاع تماس خشک هرتز،  $w$  مقدار بار وارد  $R$  شعاع کره و  $E'$  مدول الاستیتیه مؤثر.

### روش حل و نتایج به دست آمده

روش حل مسأله به صورت تکرار شونده بوده و جوابهای بدست آمده در هر مرحله در مرحله بعدی اصلاح می شوند، هر مرحله شامل حل همزمان معادله تغییر شکل الاستیتیک (معادله ۱۵) و معادله رینولدز (معادله ۱۰) می باشد. پارامترهایی نظیر شعاع کره، مقدار بار وارد، سرعت سطوح، خواص سطوح در حال تماس و خواص روغنکاری از معلومات مسأله خواهد بود. برای شروع حل مسأله، نیاز به یک توزیع فشار مناسب بوده که می توانیم از جوابهای قبلی برای بار متابه یا از یک توزیع فشار اصلاح شده تماس خشک هرتز استفاده نمود. اصلاح توزیع فشار تماس خشک هرتز، شامل گسترش مقدار فشار در قسمت ورودی و برداشتن از مقدار فشار در قسمت خروجی است و در ضمن فشار اصلاح شده بتواند بار مورد نیاز را تأمین کند.

نمونه ای از توزیع فشار اولیه مورد نیاز بر روی خط مرکزی (محور  $x$  ها) در شکل (۳) دیده می شود. خط پر نشان دهنده توزیع فشار تماس خشک هرتز و خط چین نشان دهنده توزیع فشار اصلاح شده بر روی خط مرکز ( $y=0$ ) هستند. بعد از بدست آوردن توزیع فشار اولیه مناسب، می توان تغییر شکل الاستیتیک  $d(x,y)$  را از معادله (۱۵) محاسبه، سپس از رابطه (۱۷) ضخامت فیلم روغن  $h_0$  را در مبداء مختصات و از رابطه (۶) مقدار ضخامت لایه روغن را در ناحیه تماس و یا به عبارتی  $(x,y) h(x,y)$  را بدست آورده.

از طرفی با استفاده از مقدار توزیع فشار اولیه، می توان مقدار چسبندگی سیال ( $\mu$ ) را از رابطه (۱۸) و مقدار دانسیته را از رابطه (۱۹) بدست آورد. پس از این مرحله می توان معادله رینولدز را حل تا مقدار توزیع فشار به دست آید و با استفاده از مقادیر توزیع فشار جدید، تمام مراحل را از ابتدا تکرار نموده تا جوابها همگرا شده و به جواب نهایی رسید. نتایج نهایی، مقدار توزیع فشار و توزیع ضخامت لایه روغن را در ناحیه تماس نشان خواهد داد. نمونه ای از نتایج به دست آمده بر اساس داده های جدول شماره ۱ در شکل های ۳ تا ۸ به وسیله کامپیوتر نشان داده شده اند.

### جمع بندی

با استفاده از روابط تغییر شکل یافته رینولدز و تغییر

که  $d(x',y')$  و  $R$  و  $h_0$  به ترتیب عبارتند از تغییر شکل الاستیتیک کل دو جسم در مرکز مختصات و تغییر شکل الاستیتیک کل دو جسم  $R$  شعاع جسم کروی،  $h_0$  ضخامت لایه روغن در مرکز مختصات (مرکز مختصات در تماس کره با  $h$  ضخامت لایه روغن در ناحیه تماس).

مقدار  $h_0$  از رابطه ای که در سال ۱۹۸۹ به وسیله کوهه ارائه و صحبت آن به وسیله آزمایش توسط وی به ثبوت رسیده است از رابطه زیر به دست خواهد آمد.

$$h_0 = 1.84R \left( \frac{2\mu_0 U}{E'R} \right)^{1/2} \left[ \frac{W}{E'R} \left( \frac{2\mu_0 U}{E'R} \right)^{-3/4} - 0.073 \right]^{0.49} \quad (17)$$

در رابطه فوق  $\mu_0$  چسبندگی در فشار صفر،  $U$  سرعت متوسط سطوح در حال تماس در جهت  $x$  و  $w$  مقدار بار وارد،  $\alpha$  مقدار ضریب در رابطه فشار چسبندگی و  $E'$  مقدار مدول الاستیتیه مؤثر می باشد.

رابطه چسبندگی با فشار به صورت زیر مورد استفاده قرار خواهد گرفت.

$$\mu = \mu_0 (1+CP)^K \quad (18)$$

$\mu$  و  $\mu_0$  چسبندگی سیال در فشار  $P$  و فشار صفر،  $C$  و  $K$  ضرایب هستند که برای سیال روغنکاری از طریق آزمایش به دست خواهد آمد.

رابطه دانسیته با فشار را می توان از رابطه زیر محاسبه نمود:

$$\frac{\rho}{\rho_0} = 1 + \frac{\gamma_1^P}{1+\gamma_2^P} \quad (19)$$

که در آن  $\rho_0$  دانسیته روغن به ترتیب در فشار  $P$  و صفر و  $\gamma_1$  و  $\gamma_2$  ضرایبی هستند که برای هر سیال روغنکاری از طریق آزمایش بدست می آیند.

شعاع تماس خشک هرتز و فشار حداقل تماس خشک هرتز به ترتیب به صورت زیر مورد استفاده قرار خواهد گرفت.

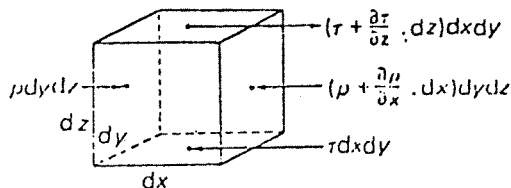
$$a = \sqrt[3]{\frac{3wR}{2E'}} \quad (20)$$

$$P_{max} = \frac{3w}{2\pi a^2} \quad (21)$$

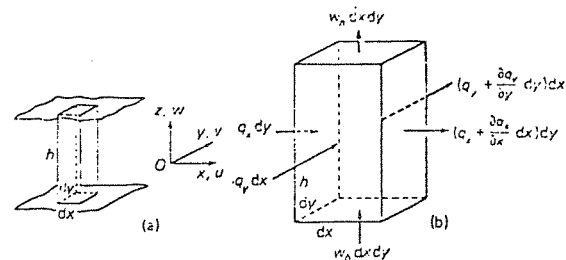
محدود دقیق تر و با نتایج بدست آمده از تحقیقات انجام شده هماهنگی خواهد داشت (۱) و (۳) و (۴) و (۵) و (۶). در ضمن در این روش می توان از اجزاء غیر مستطیلی برای تطابق با مرزهای منحنی الشکل استفاده نمود.

شکل الاستیک بر اساس فرضهای انتخابی می توان به روش اجزاء محدود و نوشن برنامه کامپیوتری مناسب، توزیع فشار و ضخامت لایه روغن را در محل سطح تماس اجسام کروی محاسبه و به صورت سه بعدی و توپوگرافی نشان داد.

نتایج حاصله از این روش (۲) از نتایج روش تفاضل



شکل ۲ - جزء سیال به ابعاد  $dx dy dz$

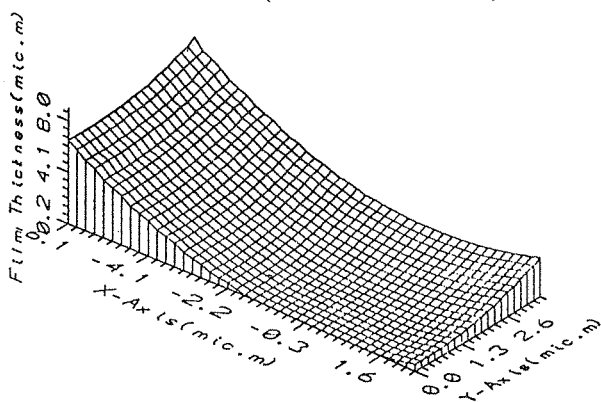


شکل ۱ - ستونی از سیال با ارتفاع  $h$  و قاعده  $dx dy$

جدول (۱) شرایط عملی برای شکلهای سری اول

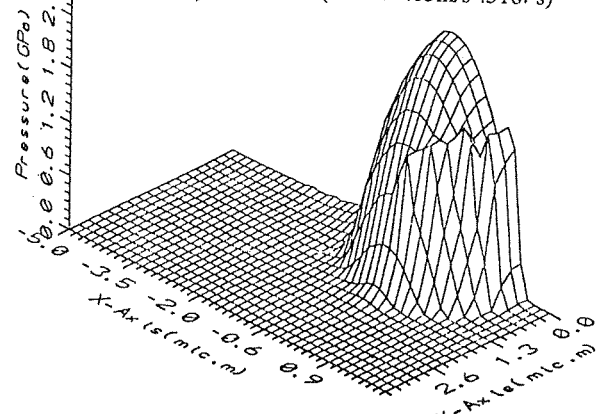
$\omega = 15.6 \text{ N}$	$C = 1.262 \times 10^{-9} \text{ m}^2/\text{N}$
$u = 0.05 \text{ m/s}$	$K = 19.8$
$\mu_0 = 0.516 \text{ Ns/m}^2$	$\gamma_1 = 5.83 \times 10^{-10} \text{ m}^2/\text{N}$
$R = 2.54 \times 10^{-2} \text{ m}$	$\gamma_2 = 1.68 \times 10^{-9} \text{ m}^2/\text{N}$
$v_1 = v_2 = 0.3$	$\bar{\alpha} = 2.37 \times 10^{-8} \text{ m}^2/\text{N}$
$E_1 = 1.08 \times 10^{11} \text{ N/m}^2$	$y = 1.5 \text{ a}$
$E_2 = 1.08 \times 10^{11} \text{ N/m}^2$	$x = -4.0 \text{ a}$

Film Thickness (15.6N .05m/s .516 Ps)

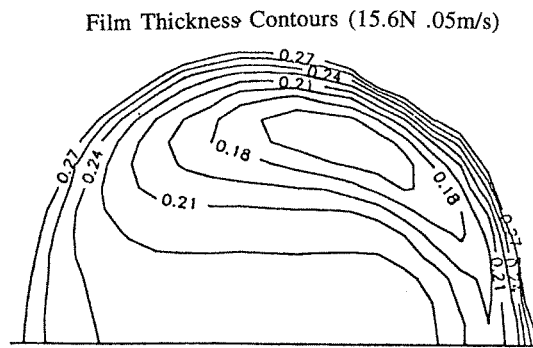


شکل ۴ - ضخامت لایه روغن سه بعدی - سری اول

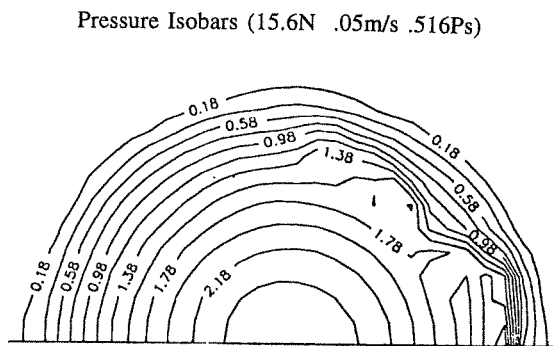
Pressure Distribution (15.6N .05m/s .516Ps)



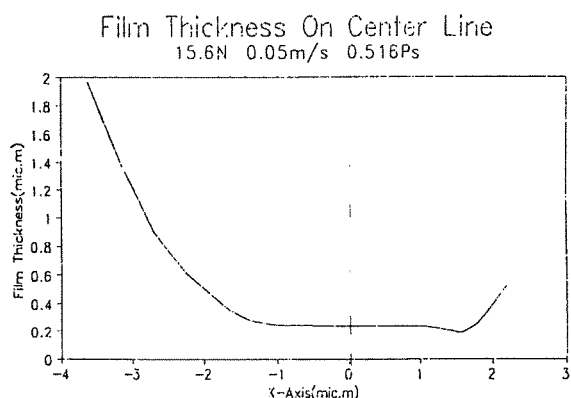
شکل ۳ - توزیع فشار سه بعدی - سری اول



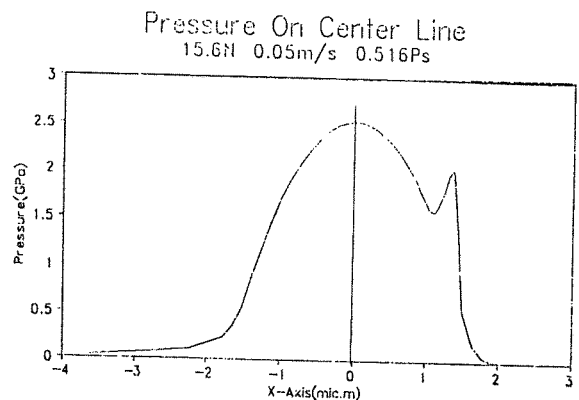
شكل ٦ - توبوگرافی ضخامت لایه روغن - سری اول



شكل ٥ - توبوگرافی توزیع فشار - سری اول



شكل ٨ - ضخامت لایه روغن بر روی خط مرکز - سری اول



شكل ٧ - توزیع فشار بر روی خط مرکز - سری اول

## منابع

1. Kweh, C.C. and H.P. Evans and R.W.Snidle, "Elastohydrodynamic Lubrication of Heavily Load-ed Circular Contact, Journal of Mechanical Engineering Science, Vol.203, No. C2, P.133 (1989).
2. Satoorians, R., "Analysis of Hydrodynamic Lu-brication of Spherical Bodies Using Finite Ele-ment Method, M.Sc. Thesis, Dept. of Mechanical Engineering, School of Engineering, Shiraz Uni-versity, Shiraz, Iran, 1992.
3. Cameron A. and R. Gohar, "Theoretical and Ex-perimental studies of Oil Film in Lubricated Point Contact", Proceedings Royal Society, London, Series A, Vol.291, P. 520 (1966).
4. Cheng, H.S., "A Numerical solution of the Elas-to-Hydrodynamic Film Thickness in an Elleptical Contact, A.S.M.E. Journal Lubrication Technolo-gy, Vol. 92, P. 155 (1970).
5. Oh, K.P. and S.M. Rhode, Numerical Solution of the Point Contact Problem Using the Finite Ele-ment Method, International Journal Numerical Methods, Engineering, Vol. 11, P.1507, (1977).
6. Evans, H.P. and R.W. Snidle, The Isothermal El-astohydrodynamic Lubrication of Spheres, A.S.M.E. Journal of Lubrication Technology, Vol.103, P. 547 (1981).